

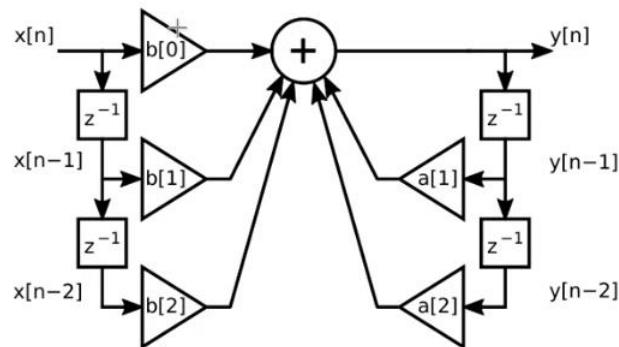
Integrálne transformácie obrazu

Signál

- Veličina závislá na čase, frekvencie, polohe..
- Obraz je dvojrozmerný signál, kde voľné premenné sú priestorové súradnice x a y
 - o možno transformovať do frekvenčnej domény, ktorá má nejakú horizontálnu a vertikálnu frekvenciu
- Stacionárny vs. nestacionárny signál
 - o k analýze stacionárnych signálov stačí furierovú transformáciu
 - o lenže obraz je nestacionárny, takže potrebujeme robustnejšie filtre
- **Filtrácia**
 - o vytiahne z obrázku nejaké komponenty (dolná horná priepusť)
- Lineárne vs. nelineárne filtry

Lineárna filtrácia

- Výstup je lineárna kombinácia lineárnych filtrov
- Časovo invariantný filter je taký ktorý vždy na rovnakú sekvenciu odpovie rovnakým výstupom
- Odozva lineárneho časovo invariantného (LIT) filteru sa volá konvolúcia
- Konvolučné jadro sa dá nazvať aj ako filter konečnej odozvy (FIR filter)



Konvolúcia

- Konvolúcia zahrňuje pri aplikácii obrátenie jadra, potom nasleduje séria skalárnych súčinov

$$\begin{aligned}(f * g)(t) &= \int f(\tau) g(t - \tau) d\tau \\ &= \int f(t - \tau) g(\tau) d\tau\end{aligned}$$

$$\begin{aligned}(f * g)[n] &= \sum_m f[m] g[n - m] \\ &= \sum_m f[n - m] g[m]\end{aligned}$$

Korelácia (cross korelácia)

- Podobná operácia ku konvolúcií, rozdielom je len, že pri aplikovaní jadra sa jadro neobráti

$$\begin{aligned}(f \star g)(t) &= \int f^*(\tau) g(t + \tau) d\tau \\ &= \int f^*(\tau - t) g(\tau) d\tau\end{aligned}$$

$$\begin{aligned}(f \star g)[n] &= \sum_m f^*[m] g[n + m] \\ &= \sum_m f^*[m - n] g[m]\end{aligned}$$

Integrálna transformácia

- Vezmem signál f a jadro transformácie a urobím integrál
- V niektorých prípadoch je možné pomocou inverzného jadra získať pôvodný signál

$$F(n) = \int f(t) \psi(t, n) dt$$

ψ ... jadro transformácie

$$f(t) = \int F(n) \psi^{-1}(n, t) dn$$

ψ^{-1} ... inverzní jadro (nemusí existovať)

Diskrétna furierova transformácia (DFT)

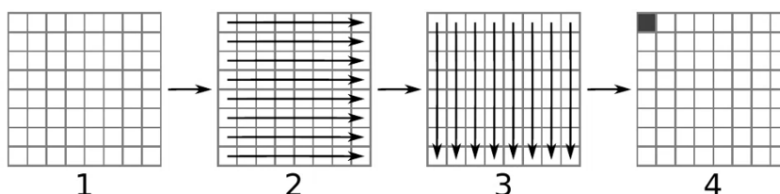
- diskrétného (komplexného) signálu dĺžky N

$$\hat{f}[k] = \sum_{n=0}^{N-1} f[n] e^{-i \frac{2\pi}{N} kn}$$

pro $0 \leq k < N$, \hat{f} komplexní

$$f[n] = \frac{1}{N} \sum_{k=0}^{N-1} \hat{f}[k] e^{i \frac{2\pi}{N} kn}$$

- stejnosečná složka (DC) pro $k = 0$
- Zložitosť $O(N^2)$, ale existuje algoritmus FFT, ktorý počíta transformáciu lineárnym zložitostou $O(N \log_2 N)$
- Vzhľadom na obrázky nás zaujíma **2D DFT**
 - je separabilná, je možné ju spočítať pomocou série lineárnych operácií



- Využíva sa varianta DFT – **diskrétna kosínová transformácia (DCT)**
 - tvorí pre reálny signál komplexné koeficienty
 - je symetrická
 - rozloží obraz na základe stavebných kamienkov g , majú tvar kosínusovky

$$c[k] = \sum_{n=0}^{N-1} f[n] g_k[n]$$

$$f[n] = \sum_{k=0}^{N-1} c[k] g_k[n]$$

pro $0 \leq k < N$, kde

$$g_k[n] = \lambda_k \sqrt{\frac{2}{N}} \cos \left[\frac{k\pi}{N} \left(n + \frac{1}{2} \right) \right]$$

- Pre **2D DCT** platí to isté ako pre 2D DFT
 - tiež je to separabilná operácia, najprv po riadkoch, potom po stĺpcoch..
 - napr. JPEG, aplikuje 2D DCT na bločky 8x8 vzorkov

$$\lambda_k = \begin{cases} 1/\sqrt{2} & + k = 0 \\ 1 & : k \neq 0 \end{cases}$$

2D Gáborova transformácia

- 1D

$$g_{\alpha, \xi}(x) = \sqrt{\alpha/\pi} e^{-\alpha x^2} e^{-i\xi x}$$

- Extrakcia príznačkov, detekcia hrán, segmentácia

$\alpha \in \mathbb{R}^+$, $\xi, x \in \mathbb{R}$, kde $\alpha = (2\sigma^2)^{-1}$, σ^2 je rozptyl, ξ je frekvencia

- 2D separabilní

$$g_{\alpha, \xi}(\mathbf{x}) = g_{\alpha, \xi_0}(x_0) g_{\alpha, \xi_1}(x_1)$$

$$\xi = (\xi_0, \xi_1), \mathbf{x} = (x_0, x_1)$$

Vlnka

Podmínky

- přípustnost

$$C_\psi = \int_0^{+\infty} \frac{|\hat{\psi}(\omega)|^2}{\omega} d\omega < +\infty$$

- nulový průměr

$$\int_{-\infty}^{+\infty} \psi(t) dt = 0$$

- jednotková plocha

$$\|\psi\| = 1$$

Vlastnosti

- existence nosiče
- nulové momenty

$$m(k) = \int t^k \psi(t) dt$$

- hladkost (regularita)

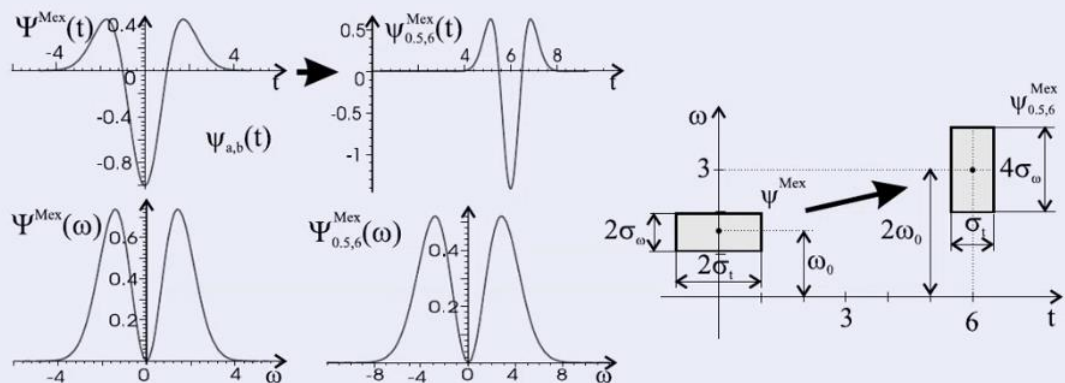
$$f = \sum_{j=-\infty}^{+\infty} \sum_{n=-\infty}^{+\infty} \langle f, \psi_{j,n} \rangle \psi_{j,n}$$

- symetrie

Atomy

- roztažené a posunuté vlnky
- báze

$$\psi_{u,s}(t) = \frac{1}{\sqrt{s}} \psi\left(\frac{t-u}{s}\right)$$



- Jadro transformácie sú rôzne rozťahnuté a posunuté vlnky

- spojitá vlnková transformace

$$\begin{aligned} Wf(u, s) &= \langle f, \psi_{u,s} \rangle \\ &= \int_{-\infty}^{+\infty} f(t) \psi_{u,s}^* dt \\ &= \int_{-\infty}^{+\infty} f(t) \frac{1}{\sqrt{s}} \psi^*\left(\frac{t-u}{s}\right) dt \\ &= f * \psi_s^*(u) \end{aligned}$$

$$\psi_s(u) = \frac{1}{\sqrt{s}} \psi\left(\frac{-t}{s}\right)$$

$$u \in \mathbb{R}, s \in \mathbb{R}^+$$

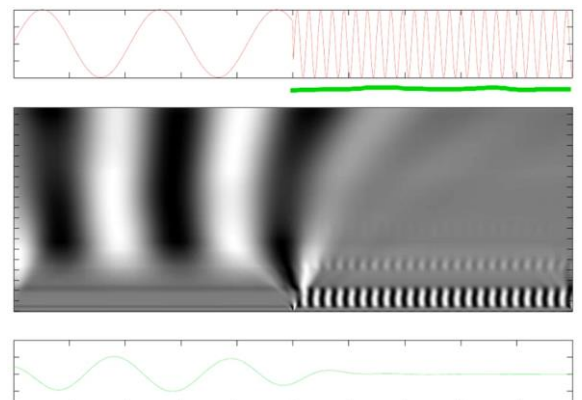
- Vizualizácia

- škálogram

$$|Wf(u, s)|^2$$

- inverzní

$$f(t) = \frac{1}{C_\psi} \int_0^{+\infty} \int_{-\infty}^{+\infty} Wf(u, s) \frac{1}{\sqrt{s}} \psi\left(\frac{t-u}{s}\right) du \frac{ds}{s^2}$$



Měřítková funkce (škálovací funkce)

- známe $W f(u, s)$ pro $s < s_0$
- potřebujeme zbytek informace pro $s > s_0$
- zavedeme ϕ

$$|\hat{\phi}(\omega)|^2 = \int_1^{+\infty} |\hat{\psi}(s\omega)|^2 \frac{ds}{s}$$

$$L f(u, s) = \langle f, \phi_{u,s} \rangle$$

$$\|\phi\| = 1$$

Vlnkové rámce (wavelet frames)

- diskrétní parametry u, s

$$s = s_0^m, u = nu_0 s_0^m$$

$$m \in \mathbb{Z}, n \in \mathbb{Z}, s_0 > 1, u_0 > 0$$

Vlnkové řady (wavelet series)

- odstraněna nadbytečná informace
- dyadické vzorkování $s_0 = 2, u_0 = 1$

$$s = 2^m, u = n2^m$$

$$m \in \mathbb{Z}, n \in \mathbb{Z}$$

- Zajímá nás až diskrétní vlnková transformace
- Podstatné je, že měřítková funkce a vlnka je přes dilatační rovnice vázaná s koeficienty přes dva FIR filtry
- Můžeme tedy spočítat řadu konvolucí s nějakými krátkými FIR filtry (sú rôzne rozťahnuté a posunuté)

- dilatační rovnice

$$\phi(t) = \sqrt{2} \sum_n h(n) \phi(2t - n)$$

$$+ \psi(t) = \sqrt{2} \sum_n g(n) \phi(2t - n)$$

Rychlá vlnková transformace (FWT)

$$c_{u+1}(s) = \sum_k h(k - 2s) c_u(k)$$

$$d_{u+1}(s) = \sum_k g(k - 2s) c_u(k)$$

Složitost

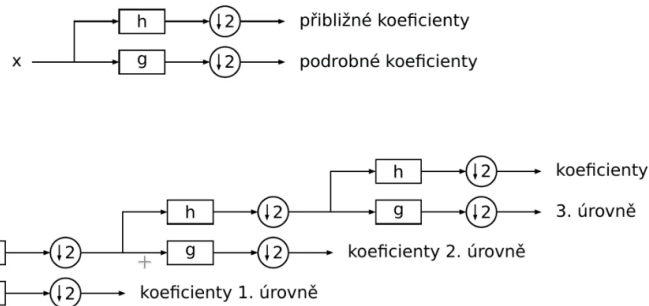
- FFT $N \log N$
- DWT N
- lifting

- Lifting je hrozne rýchly systém výpočtu diskrétnej vlnkovej transformácie
- Transformácia sa aplikuje hierarchicky typicky

Diskrétní vlnková transformace

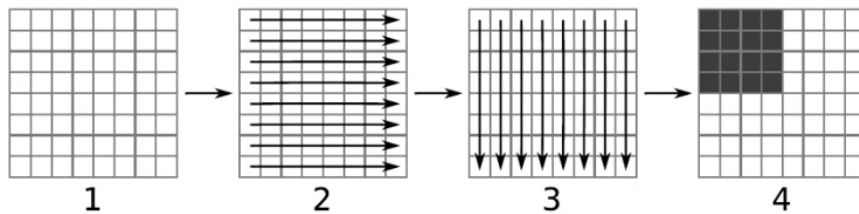
$$c_1[s] = (x * h)[s] \downarrow 2$$

$$d_1[s] = (x * g)[s] \downarrow 2$$

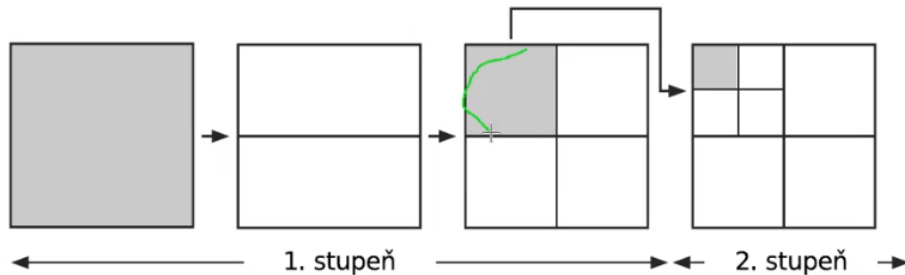


Nad obrazom

- Rovnako ako do teraz.. riadky.. stĺpce výsledok..



- Po získaní stupňa rozkladu, sa viac zánaram (to čierne je stupeň rozkladu)



- Jedna z najdôležitejších transformácií v spracovaní obrazu
- V 1D vzniká vektor
- V 2D vzniká strom reprezentovateľný maticov

Používané diskrétné vlnky

Haarova a Daubechiesové vlnky

- diskrétní (ortogonální), derivátory

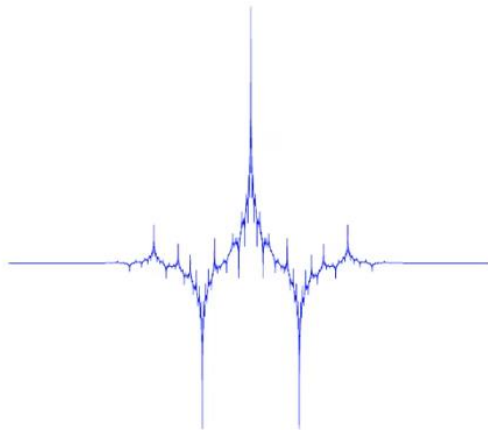
- Haarova je najjednoduchšia, je z rodin daubeschiesových vlniek

$$\psi(t) = \begin{cases} 1 & 0 \leq t < 1/2 \\ -1 & 1/2 \leq t < 1 \end{cases}$$



CDF / Biortogonální spline vlnky

- diskrétní (biortogonální), komprese (JPEG 2000)

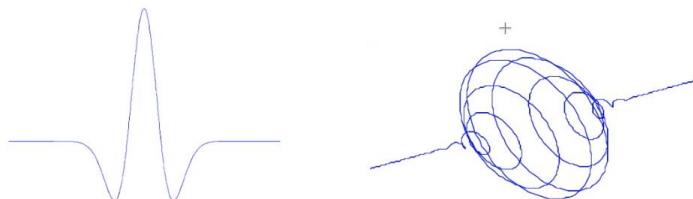


- Použité napr. v kompresi obrazu JPEG 2000
- Je výpočetně nenáročná, často používaná a symetrická
- Široko se používá

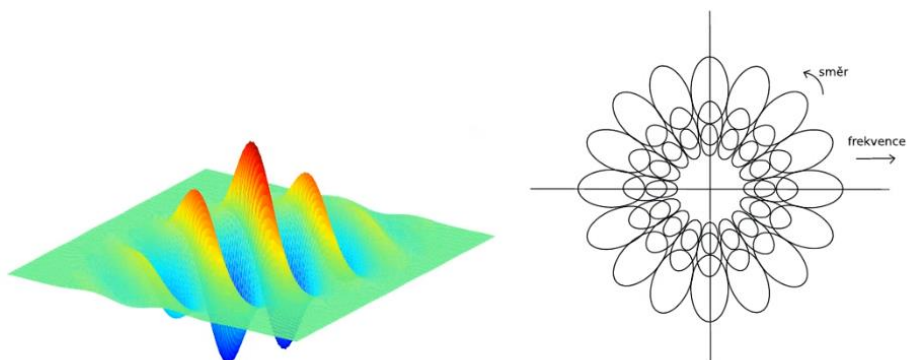
Používané spojité vlnky

Mexický klobouk a Morletova nebo Gaborova vlnka

$$\psi(t) = c(t^2 - 1)e^{-t^2/2}$$

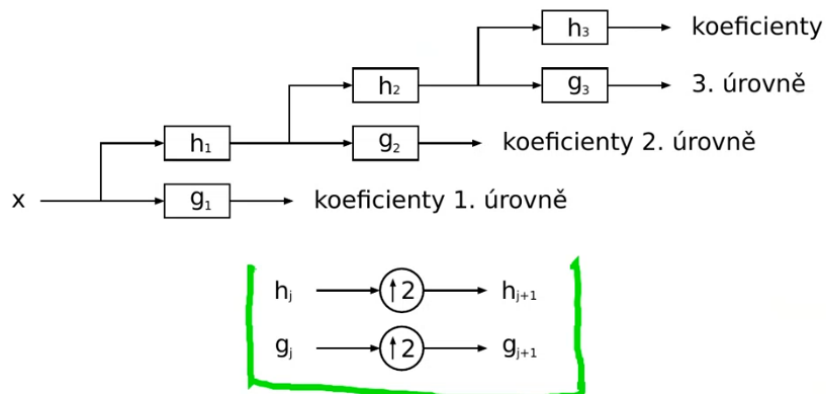


2D Gaborova vlnka



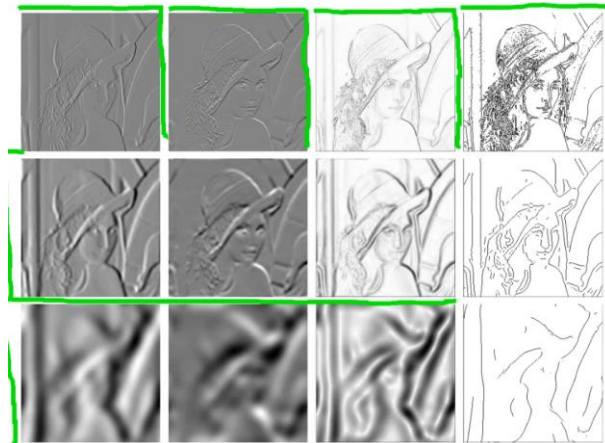
Stacionárna vlnková transformácia

- redundantní forma DWT
- vynecháno podvzorkování signálu, namísto toho nadvzorkování filtrů



Detekcia hrán

- Pomocou teórie vlnkovej transformácie môžeme prepnúť akýkoľvek detektor hrán do multiscale detektoru



Odstránenie šumu

- Bohužiaľ niektorých artefaktov sa nezbavím

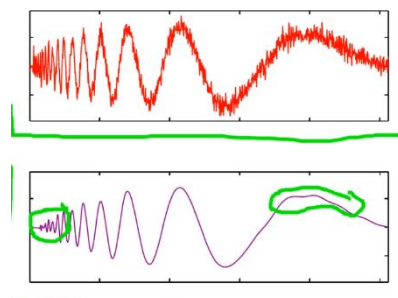
- prahování vlnkových koeficientů
- tvrdé (*hard*)

$$\rho_{\lambda}^{hard}(x) = \begin{cases} x & |x| \geq \lambda \\ 0 & |x| < \lambda \end{cases}$$

- měkké (*soft*)

$$\rho_{\lambda}^{soft}(x) = \begin{cases} x - \lambda & x \geq \lambda \\ x + \lambda & x \leq -\lambda \\ 0 & |x| < \lambda \end{cases}$$

- volba prahu λ
- pro normální $No(0, \sigma^2)$ šumu se používá $\lambda = \sigma \sqrt{2 \ln M}$
- pro $No(0, \sigma^2)$ odvozeno $\sigma = \text{median}(|d_1|)/0,6745$



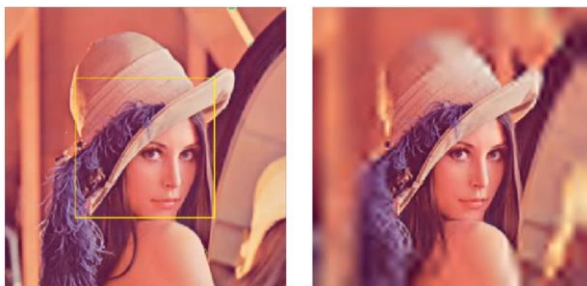
Diskrétna vlnková transformácia

- Možnosti a výhody:
 - ztrátová i bezztrátová komprese
 - kvalita
 - progresívny prenos
 - ▶ rozlíšenie
 - ▶ kvalita
 - ▶ prostorové umiestnenie
 - oblasť zájmu (ROI)
 - odolnosť vŕči chybám
 - výpočetná složitost
- Toto je už možné pri formáte JPEG 2000 (nie pri JPEG)
- Ukážka: bolo zapísaných 16 bajtov núl do obrazu:



Obrázek : JPEG, JPEG 2000

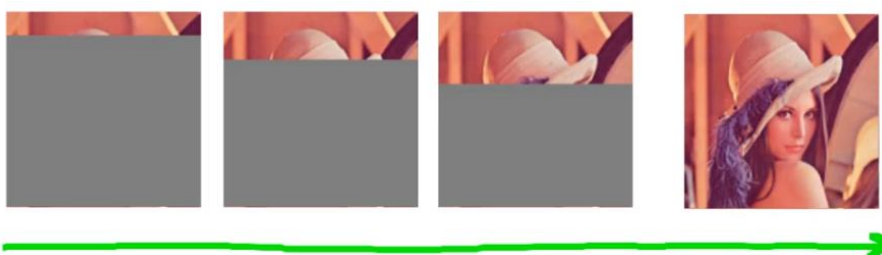
- Ukážka: oblasť záujmu



- Ukážka: progresívny prenos (rozlíšenie)



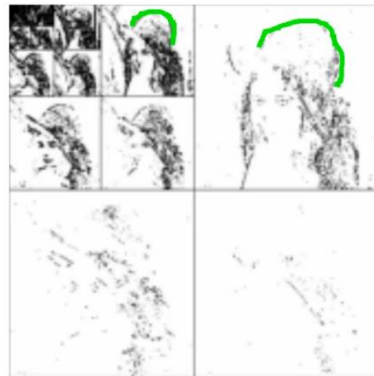
- Ukážka: progresívny prenos (pozícia):



Korelácia

Algoritmus Embedded coder

- vkládání bitů v pořadí podle významnosti
- 2^n , kódování bitových rovin (bitplane coding)
- algoritmus
 - 1 inicializace
 - 2 kódování významnosti
 - 3 kódování znaménka
 - 4 upřesnění
 - 5 další krok



Algoritmus EZV

- Najednoduchší algoritmus

- korelace mezi měřítky
- zerotree
- Mortonův rozklad
- algoritmus
 - 1 inicializace
 - 2 hlavní průchod

```
if( abs(c) > T ) {
    output(P) or output(N);
} else {
    if( zerotree_root(c) ) output(T);
    else output(Z);
}
```
 - 3 upřesňující průchod
 - 4 další krok